

Поверхностные поляритоны в системе диэлектрик – анизотропный нанокомпозит

Д.Г.Санников, Д.И.Семенцов, Л.Д.Филатов

Исследованы особенности распространения поверхностных поляритонов на плоской границе раздела изотропного диэлектрика и анизотропного нанокомпозита с металлическими включениями эллипсоидальной формы. Для случая, когда оси вращения всех наноэллипсоидов перпендикулярны направлению распространения и параллельны границе раздела сред, получены частотные зависимости константы распространения и поперечных компонент волнового вектора, глубины проникновения и длины пробега, продольного и поперечного энергетических потоков поверхностных поляритонов. Показано влияние формы наноэллипсоидов на волновые характеристики поверхностных поляритонов.

Ключевые слова: анизотропный нанокомпозит, металлические включения, поверхностные поляритоны.

1. Введение

В последнее время возрос интерес к нанокомпозитным средам (НКС), которые обладают целым рядом необычных свойств, позволяющих создавать на их основе новые материалы с заданными структурными, электромагнитными и оптическими характеристиками. Свойства НКС во многом определяются размером, формой и упорядоченностью нановключений, а также степенью заполнения ими объема материала (матрицы) [1–4]. В частности, выбирая должным образом материал матрицы, концентрацию и размер нановключений, можно добиться отрицательности действительных частей комплексных диэлектрической и (или) магнитной проницаемостей НКС в определенном частотном диапазоне. Перспективным представляется использование НКС с металлическими включениями, имеющих сильную линейную и нелинейную дисперсию оптических свойств в области плазмонного резонанса [5–10].

Известно, что в области частот, где один из указанных материальных параметров принимает отрицательные значения, вдоль плоской границы раздела возможно распространение поверхностных волн – поверхностных поляритонов (ПП) [11–15]. Волновое поле ПП локализуется в приповерхностной области, толщина которой с каждой стороны от границы раздела имеет порядок длины волны. В анизотропных средах, к которым могут быть отнесены НКС с анизотропными расположением и формой включений, свойства ПП существенно зависят от направления их распространения по отношению к осям анизотропии [16–23].

В настоящей работе исследуются особенности распространения ПП вдоль плоской границы раздела изотропного диэлектрика и НКС с эллипсоидальной формой ме-

таллических наночастиц, используемых в качестве наполнителя. При одинаковой ориентации всех наночастиц и однородном их распределении по объему НКС представляет собой одноосный оптический кристалл с компонентами тензора эффективной диэлектрической проницаемости, зависящими как от геометрических параметров структуры, так и от физических характеристик наночастиц. Получены дисперсионные соотношения для наночастиц различной формы в НКС, построены частотные зависимости глубины проникновения ПП и полного потока энергии, переносимой ПП.

2. Геометрия структуры и материальные параметры

Направим ось z перпендикулярно границе раздела сред, а ось x – вдоль направления распространения волны. Будем считать, что диэлектрическая проницаемость диэлектрика ϵ_d в исследуемом частотном диапазоне не зависит от частоты. НКС представляет собой непроводящую матрицу с диэлектрической проницаемостью ϵ_m , в объеме которой равномерно распределены металлические наночастицы с диэлектрической проницаемостью ϵ_p . Магнитные проницаемости диэлектрической среды (μ_d) и НКС (μ_n) в рассматриваемом оптическом диапазоне считаем не зависящими от частоты и равными единице.

Предполагается, что все наночастицы имеют форму эллипсоидов вращения, одинаковые ориентацию и размеры, на порядок меньше длины волны излучения. Ниже мы исследуем один из основных случаев ориентации осей вращения всех наночастиц, когда они совпадают с координатной осью y , лежащей в плоскости границы раздела сред (рис. 1). В этом случае НКС имеет свойства одноосного кристалла и ее эффективная диэлектрическая проницаемость описывается диагональным тензором $\hat{\epsilon}_{\text{eff}}$ с отличными от нуля компонентами $\epsilon_{xx} = \epsilon_{zz} = \epsilon_{\text{eff}}^{\perp}$ и $\epsilon_{yy} = \epsilon_{\text{eff}}^{\parallel}$. Для описания оптических свойств НКС мы используем одну из широко распространенных моделей эффективной среды с наночастицами одного типа – модель Максвелла-Гарнетта, в рамках которой эффективная диэлектрическая проницаемость среды описывается выражением [2, 3, 4, 16–18]

Д.Г.Санников, Д.И.Семенцов, Л.Д.Филатов. Ульяновский государственный университет, Россия, 432700 Ульяновск, ул. Л.Толстого, 42; e-mail: sannikov-dg@yandex.ru, sementsovdi@mail.ru

Поступила в редакцию 23 декабря 2013 г., после доработки – 12 мая 2014 г.

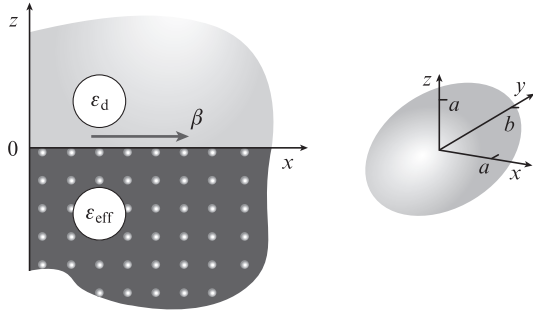


Рис.1. Геометрия задачи и форма нановключений.

$$\epsilon_{\text{eff}}^{\perp, \parallel} = \epsilon_m \left[1 + \frac{\eta(\epsilon_p - \epsilon_m)}{\epsilon_m + (1 - \eta)(\epsilon_p - \epsilon_m)g_{\perp, \parallel}} \right], \quad (1)$$

где η – объемная доля нановключений; $g_{\perp, \parallel}$ – деполяризующие факторы (или форм-факторы), учитывающие влияние формы наночастицы на величину индуцированного на ней дипольного момента. Пренебрегая поглощением и частотной дисперсией диэлектрика, используемого в качестве матрицы композита, можно считать параметр ϵ_m постоянной и действительной величиной. Для диэлектрической проницаемости металлических наночастиц имеем выражение

$$\epsilon_p(\omega) = \epsilon_0 - \frac{\omega_p^2}{\omega^2 + i\omega\gamma}, \quad (2)$$

где ω – частота света; ω_p – плазменная частота; ϵ_0 – вклад решетки; γ – параметр релаксации.

В случае эллипсоида вращения фактор деполяризации g_{\parallel} существенно зависит от обратного отношения длин полярной (a) и экваториальной (b) полуосей наночастицы $\xi = b/a$. Случаю $\xi < 1$ отвечает сплюснутый эллипсоид, для которого параметр g_{\parallel} определяется выражением

$$g_{\parallel} = \frac{1}{1 - \xi^2} \left(1 - \frac{\xi}{\sqrt{1 - \xi^2}} \arcsin \sqrt{1 - \xi^2} \right), \quad (3)$$

а случаю $\xi > 1$ – вытянутый эллипсоид вращения, для которого

$$g_{\parallel} = \frac{1}{\xi^2 - 1} \left[\frac{\xi}{\sqrt{\xi^2 - 1}} \ln(\xi + \sqrt{\xi^2 - 1}) - 1 \right]. \quad (4)$$

Из общего соотношения $g_{\parallel} + 2g_{\perp} = 1$ следует, что $g_{\perp} = (1 - g_{\parallel})/2$. В случае сферических частиц $\xi = 1$, анизотропия формы отсутствует и $g_{\parallel} = g_{\perp} = 1/3$.

Учет релаксации в выражении (2) приводит к комплексности компонент эффективной диэлектрической проницаемости – $\epsilon_{\text{eff}} = \epsilon'_{\text{eff}} + i\epsilon''_{\text{eff}}$, где действительная и мнимая части определяются следующими выражениями:

$$\epsilon'_{\text{eff}} = \epsilon_m + \frac{\eta}{G} \left\{ (\epsilon'_p - \epsilon_m) \left[1 + g(1 - \eta) \frac{\epsilon'_p - \epsilon_m}{\epsilon_m} \right] + g(1 - \eta) \frac{(\epsilon''_p)^2}{\epsilon_m} \right\}, \quad \epsilon''_{\text{eff}} = \frac{\eta\epsilon''_p}{G}. \quad (5)$$

Здесь введены обозначения

$$G = \left[1 + g(1 - \eta) \frac{\epsilon'_p - \epsilon_m}{\epsilon_m} \right]^2 + \left[g(1 - \eta) \frac{\epsilon''_p}{\epsilon_m} \right]^2,$$

$$\epsilon'_p = \epsilon_0 - \frac{\omega_p^2}{\omega^2 + \gamma^2}, \quad \epsilon''_p = \frac{\gamma\omega_p^2}{\omega(\omega^2 + \gamma^2)}.$$

В соотношениях (5) у величин ϵ'_{eff} , ϵ''_{eff} и g индексы \perp и \parallel опущены.

Анализ полученных соотношений указывает на резонансный характер функций $\epsilon_{\text{eff}}^{\perp, \parallel}(\omega)$. Резонансные частоты отвечают максимумам мнимой части этих функций и определяются выражением

$$\omega_{\text{res}} \approx \sqrt{\frac{(1 - \eta)g\omega_p^2}{\epsilon_m + (1 - \eta)g(\epsilon_0 - \epsilon_m)} - \gamma^2}. \quad (6)$$

Указанные частоты связаны с плазмонным резонансом наночастиц и существенно зависят от их формы и размера.

3. Дисперсионное соотношение

Далее рассмотрим случай распространения в структуре поверхностных поляритонов ТМ типа (из-за отсутствия магнитного отклика обеих сред поляритоны ТЕ типа не могут распространяться в данной структуре). С учетом гармонической зависимости полей от времени и координаты вдоль направления распространения волны, $(E_x, H_y, E_z) \propto \exp[i(\omega t - \beta x)]$, запишем выражения для компонент волнового поля в НКС:

$$\frac{d^2 H_y}{dz^2} - q_n^2 H_y = 0, \quad E_x = \frac{i}{k_0 \epsilon_{\text{eff}}^{\perp}} \frac{dH_y}{dz}, \quad E_z = -\frac{\beta}{k_0 \epsilon_{\text{eff}}^{\perp}} H_y, \quad (7)$$

где $k_0 = \omega/c$; c – скорость света в вакууме; β – константа распространения;

$$q_n^2 = \beta^2 - k_0^2 \epsilon_{\text{eff}}^{\perp} \mu_n \quad (8)$$

– поперечная компонента волнового вектора. Уравнения вида (7) и (8) для диэлектрика получаются в результате замен $\epsilon_{\text{eff}}^{\perp} \rightarrow \epsilon_d$, $\mu_n \rightarrow \mu_d$ и $q_n \rightarrow q_d$.

Решение уравнения для компоненты магнитного поля H_y с учетом ее непрерывности на границе раздела представим в виде

$$H_y(x, z) = H_0 \exp(-i\beta x) \begin{cases} \exp(-q_d z), & z > 0, \\ \exp(q_n z), & z < 0. \end{cases} \quad (9)$$

Второе граничное условие для ТМ поляритона состоит в непрерывности тангенциальной компоненты электрического поля на границе раздела сред, что равносильно следующему уравнению:

$$\frac{1}{\epsilon_d} \frac{\partial H_y^d}{\partial z} - \frac{1}{\epsilon_{\text{eff}}^{\perp}} \frac{\partial H_y^n}{\partial z} \Big|_{z=0} = 0. \quad (10)$$

Уравнение (10) с учетом (9) приводит к дисперсионному соотношению, связывающему константу распространения ПП с материальными параметрами сред и частотой:

$$\frac{q_d}{\epsilon_d} + \frac{q_n}{\epsilon_{\text{eff}}^{\perp}} = 0, \quad \beta = k_0 \sqrt{\frac{\mu_n \epsilon_d - \mu_d \epsilon_{\text{eff}}^{\perp}}{\epsilon_d^2 - (\epsilon_{\text{eff}}^{\perp})^2}} \epsilon_d \epsilon_{\text{eff}}^{\perp}. \quad (11)$$

Далее будем анализировать ситуацию, когда можно считать $\mu_n = \mu_d = 1$ и

$$\beta(\omega) = \frac{\omega}{c} \sqrt{\frac{\epsilon_{\text{eff}}^{\perp}(\omega) \epsilon_d}{\epsilon_{\text{eff}}^{\perp}(\omega) + \epsilon_d}}. \quad (12)$$

В рассматриваемом случае $\epsilon_d > 0$, поэтому в отсутствие поглощения существование ПП возможно лишь при $\epsilon_{\text{eff}}^{\perp} < 0$ и $|\epsilon_{\text{eff}}^{\perp}| > \epsilon_d$. Обратим внимание на тот факт, что при выбранной геометрии задачи нам понадобится только величина $\epsilon_{\text{eff}}^{\perp}$, которая входит и в волновые уравнения (7), и в дисперсионные соотношения (11). Поэтому далее во всех выражениях верхний индекс \perp опускаем, считая $\epsilon_{\text{eff}} \equiv \epsilon_{\text{eff}}^{\perp}$.

При наличии поглощения в структуре константа распространения ПП и поперечные компоненты волнового вектора становятся комплексными, т.е. $\beta = \beta' - i\beta''$ и $q_j = q_j' - iq_j''$ ($j = d, n$). В этом случае поле ПП определяется выражением

$$H_y(x, z) = H_0(x) \exp[-i(\beta'x \mp q_j''z)] \exp(\mp q_j'z), \quad (13)$$

где $H_0(x) = H_0 \exp(-\beta''x)$; верхние знаки относятся к области $z > 0$, а нижние – к области $z < 0$. Действительная и мнимая части константы распространения, определяющие фазовую скорость и затухание, даются соотношениями

$$\beta' = \frac{k_0}{\sqrt{2}}(\sqrt{m^2 + n^2} + m)^{1/2}, \quad \beta'' = \frac{k_0}{\sqrt{2}}(\sqrt{m^2 + n^2} - m)^{1/2},$$

$$m = \frac{\epsilon_d(\epsilon_d \epsilon_{\text{eff}}' + |\epsilon_{\text{eff}}'|^2)}{(\epsilon_d + \epsilon_{\text{eff}}')^2 + (\epsilon_{\text{eff}}'')^2}, \quad n = \frac{\epsilon_d^2 \epsilon_{\text{eff}}''}{(\epsilon_d + \epsilon_{\text{eff}}')^2 + (\epsilon_{\text{eff}}'')^2}. \quad (14)$$

Действительные и мнимые части поперечных компонент волнового вектора ПП q_j в каждой из сред можно представить следующим образом:

$$q_d' = \frac{k_0}{\sqrt{2}}(\sqrt{u_d^2 + v_d^2} \mp u_d)^{1/2}, \quad q_d'' = \frac{k_0}{\sqrt{2}}(\sqrt{u_d^2 + v_d^2} \mp u_d)^{1/2}, \quad (15)$$

где введены обозначения

$$u_d = \frac{\epsilon_d^2(\epsilon_d + \epsilon_{\text{eff}}')}{(\epsilon_d + \epsilon_{\text{eff}}')^2 + (\epsilon_{\text{eff}}'')^2}; \quad v_d = \frac{\epsilon_d^2 \epsilon_{\text{eff}}''}{(\epsilon_d + \epsilon_{\text{eff}}')^2 + (\epsilon_{\text{eff}}'')^2};$$

$$u_n = \frac{(\epsilon_d + \epsilon_{\text{eff}}')[(\epsilon_{\text{eff}}')^2 - (\epsilon_{\text{eff}}'')^2] + 2\epsilon_{\text{eff}}'(\epsilon_{\text{eff}}'')^2}{(\epsilon_d + \epsilon_{\text{eff}}')^2 + (\epsilon_{\text{eff}}'')^2};$$

$$v_n = \epsilon_{\text{eff}}'' \frac{(\epsilon_{\text{eff}}')^2 - (\epsilon_{\text{eff}}'')^2 - 2\epsilon_{\text{eff}}'(\epsilon_d + \epsilon_{\text{eff}}')}{(\epsilon_d + \epsilon_{\text{eff}}')^2 + (\epsilon_{\text{eff}}'')^2}.$$

Из представления волнового поля (13) следует, что плоскости постоянной амплитуды поля ПП $\beta''x \pm q_{d,n}''z = \text{const}$ пересекают границу раздела сред под углами $\mp \arctan(\beta''/q_{d,n}'')$ в каждой из сред. Плоскости постоянной фазы $\beta'x \mp q_{d,n}'z = \text{const}$ пересекают границу раздела под углами $\pm \arctan(\beta'/q_{d,n}')$.

Для существования ПП необходимо выполнение условий $q_d' > 0$, $q_n' > 0$, которые означают, что амплитуда волнового поля ПП должна экспоненциально спадать при удалении от границы раздела. Очевидные физические соображения требуют также выполнения еще двух неравенств: $\beta' > 0$, $\beta'' > 0$, первое из которых указывает на отсутствие обратной волны, второе – на отсутствие усиления в структуре.

4. Численный анализ

Для проведения численного анализа выбраны следующие параметры НКС: $\epsilon_0 = 5$, $\omega_p = 1.36 \times 10^{16} \text{ c}^{-1}$, $\gamma =$

$3.04 \times 10^{13} \text{ c}^{-1}$ (параметры нановключений, отвечающие серебру) [24], $\epsilon_m = 2.25$ (матрица предполагается стеклянной), объемная доля нановключений $\eta = 1.3 \times 10^{-2}$, диэлектрическая проницаемость диэлектрика $\epsilon_d = 1$. На рис.2 представлены частотные зависимости действительной и мнимой частей эффективной проницаемости $\epsilon_{\text{eff}}^{\perp}$, полученные для НКС с нановключениями в виде сплюснутых эллипсоидов, сфер и вытянутых эллипсоидов, т.е. при $\xi = 0.5, 1, 5$. При удалении от резонансной частоты $\epsilon_{\text{eff}}^{\perp}$ асимптотически стремится к значению $(1 - \eta)\epsilon_m + \eta\epsilon_0$, тогда как ϵ_{eff}'' – к нулю. Видно, что $\epsilon_{\text{eff}}^{\perp}$ в узких частотных интервалах принимает отрицательные значения, причем с увеличением параметра ξ ширина этого интервала уменьшается. Также с увеличением ξ смещается в сторону более высоких частот область плазмонного резонанса, уменьшаются действительная часть эффективной проницаемости и резонансное значение ее мнимой части.

На рис.3 приведены частотные зависимости действительной и мнимой частей константы распространения, полученные для структуры с указанными выше параме-

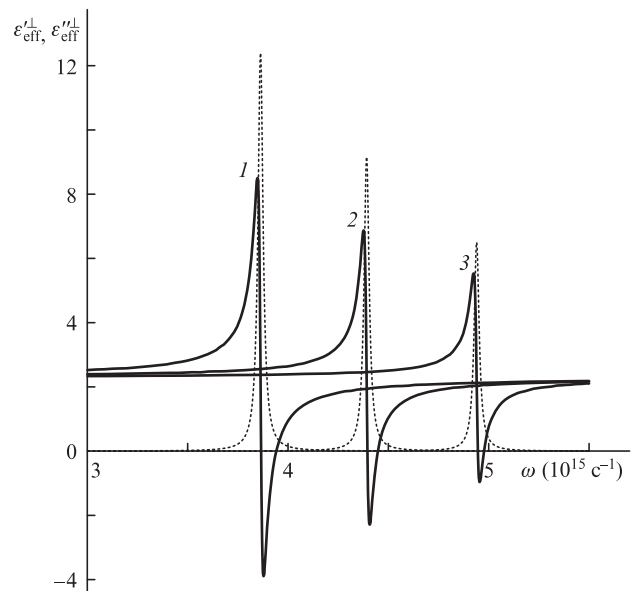


Рис.2. Частотные зависимости действительной (сплошные кривые) и мнимой (пунктирные кривые) частей эффективной диэлектрической проницаемости НКС $\epsilon_{\text{eff}}^{\perp}$ при $\xi = 0.5$ (1), 1 (2) и 5 (3).

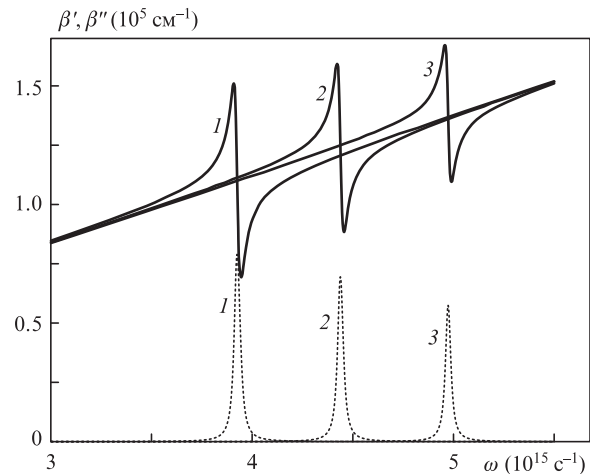


Рис.3. Частотные зависимости действительной (сплошные кривые) и мнимой (пунктирные кривые) частей константы распространения при $\xi = 0.5$ (1), 1 (2) и 5 (3).

трами НКС и проницаемостью диэлектрика $\epsilon_d = 1$. Видно, что резонансам эффективной проницаемости отвечают резонансы константы распространения. Наличие потерь в структуре приводит к конечному значению константы распространения в частотной области, соответствующей $\epsilon'_{\text{eff}} < 0$, в отличие от структуры без поглощения, для которой $\beta \rightarrow \infty$ при стремлении частоты к верхней границе существования ПП. При этом дисперсия поверхностных и объемных поляритонных волн описывается разными частями одной непрерывной кривой, представляемой зависимостью $\beta'(\omega)$. В резонансной области происходит существенное замедление ПП и резкое уменьшение длины его пробега $l = (\beta'')^{-1}$, что связано с режимом возрастанием вблизи резонансной частоты мнимой части эффективной проницаемости. В области максимального роста величины $\beta'(\omega)$ (т.е. максимальной производной $d\beta'/d\omega$) замедление ПП наиболее существенно, на этих участках групповая скорость оказывается на порядок меньше скорости света в вакууме. В области, где $d\beta'/d\omega < 0$, групповая скорость также становится отрицательной. Однако указанная частотная область отвечает аномальной дисперсии и сильному поглощению, при которых понятие групповой скорости волны не всегда является корректным.

На рис.4 приведены зависимости действительной и мнимой частей константы распространения ПП от формы нановключений, полученные для различных значений частоты ω . Видно, что на фиксированной частоте зависимость от параметра ξ также имеет резонансный характер. Существенное изменение указанных величин наблюдается только в резонансной области, ширина которой с ростом частоты увеличивается. Вдали от резонанса величины β' и β'' перестают зависеть от параметра ξ . При этом с ростом частоты нерезонансные значения величины β' увеличиваются, а величины β'' стремятся к нулю.

Одной из важных характеристик ПП является глубина проникновения волнового поля в каждую из граничащих сред, которая определяется выражением $\lambda_{n,d} = 1/q'_{n,d}$. На рис.5 представлены зависимости от частоты и формы нановключений (т.е. параметра ξ) глубины проникновения

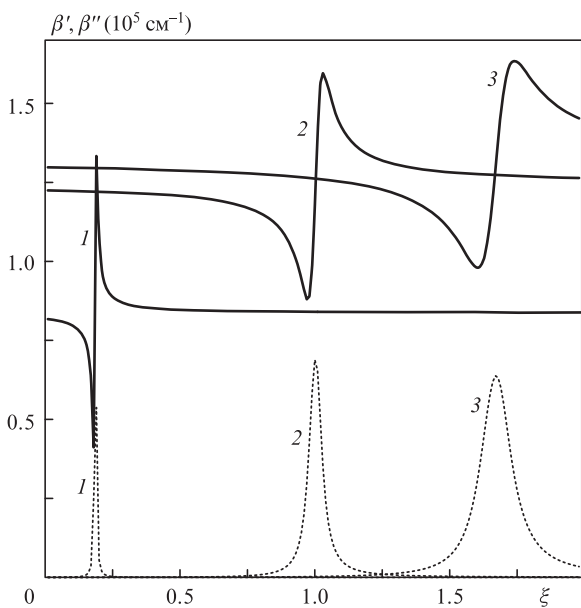


Рис.4. Зависимости действительной (сплошные кривые) и мнимой (пунктирные кривые) частей константы распространения ПП от параметра формы ξ наноэллипсоидов при $\omega = 3 \times 10^{15}$ (1), 4.44×10^{15} (2) и $4.7 \times 10^{15} \text{ c}^{-1}$ (3).

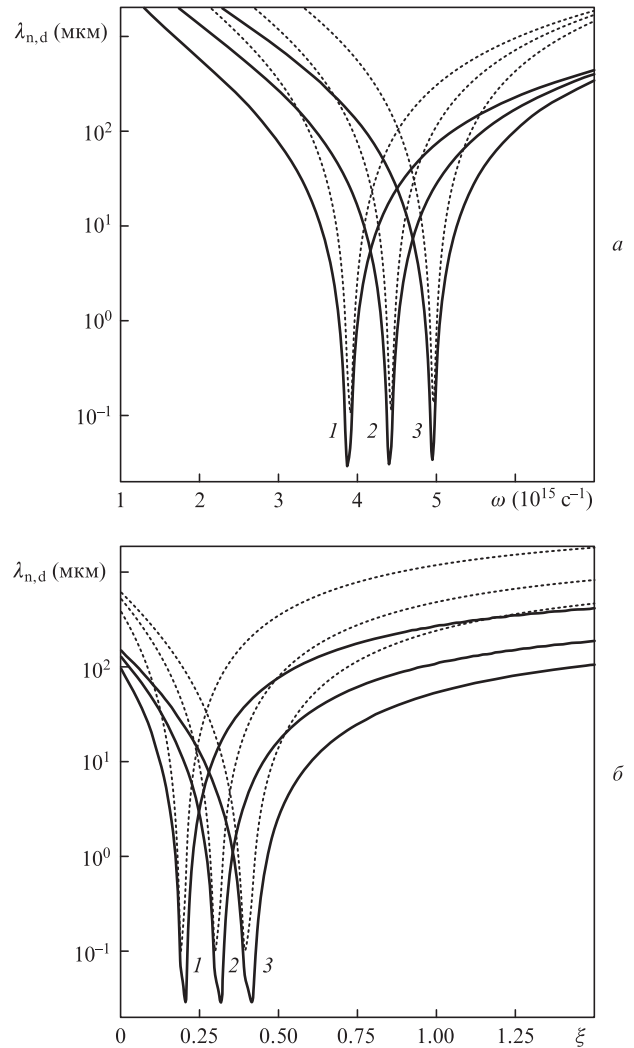


Рис.5. Зависимости глубин проникновения ПП в нанокompозит (сплошные кривые) и в диэлектрик (пунктирные кривые) от частоты при $\xi = 0.5$ (1), 1 (2) и 5 (3) (а), а также от формы наночастиц в НКС для $\omega = 3 \times 10^{15}$ (1), 3.44×10^{15} (2) и $3.7 \times 10^{15} \text{ c}^{-1}$ (3) (б).

ПП в нанокompозит и диэлектрик. Зависимости $\lambda_{n,d}(\omega)$ получены для различных ξ , а зависимости $\lambda_{n,d}(\xi)$ – для различных ω . Локализация поля излучения вблизи границы раздела сред максимальна там, где глубина проникновения поверхностных волн минимальна: $\lambda_n \approx 3 \times 10^{-2}$ мкм и $\lambda_d \approx 10^{-1}$ мкм. Отстройка от резонанса в сторону меньших частот вызывает быстрый рост глубины проникновения поля и в нанокompозит, и в диэлектрик, что в пределе приводит к преобразованию поверхностной волны в объемную. Уход от резонансной частоты в сторону больших частот обуславливает более глубокое проникновение ПП в диэлектрик и сравнительно медленный рост λ_n в нанокompозите. Таким образом, наибольшая степень локализации поля может быть достигнута в результате перестройки рабочей частоты. Форма нановключений также существенно влияет на величины λ_d и λ_n . Наибольшей локализации волнового поля на выбранных частотах отвечают значения $\xi \leq 0.5$, т.е. НКС с формой включений в виде сплюснутых эллипсоидов. В целом при фиксированном значении ξ величина λ_d больше λ_n .

5. Энергетические потоки

Энергетической характеристикой волнового процесса с учетом его гармонической зависимости от времени яв-

ляется вектор Пойнтинга $\langle \mathbf{S} \rangle = (c/8\pi)\text{Re}(\mathbf{E} \times \mathbf{H}^*)$, определяющий в рассматриваемом нами случае среднюю за период плотность потока энергии ПП. Наличие как поперечной, так и продольной волновой компоненты электрического поля приводит к тому, что вектор $\langle \mathbf{S} \rangle$ имеет как продольную ($\langle S_x \rangle$), так и поперечную ($\langle S_z \rangle$) составляющую. Используя полученные соотношения для волновых полей, запишем выражения для соответствующих им компонент вектора Пойнтинга:

$$\begin{aligned} \langle S_x(x, z) \rangle &= \frac{cH_0^2}{8\pi k_0} \\ &\times \exp(-2\beta''x) \begin{cases} \beta' \varepsilon_d^{-1} \exp(-2q'_d z), & z > 0, \\ \frac{\varepsilon'_{\text{eff}} \beta' - \varepsilon''_{\text{eff}} \beta''}{|\varepsilon_{\text{eff}}|^2} \exp(2q'_n z), & z < 0, \end{cases} \\ \langle S_z(x, z) \rangle &= -\frac{cH_0^2}{8\pi k_0} \\ &\times \exp(-2\beta''x) \begin{cases} q'_d \varepsilon_d^{-1} \exp(-2q'_d z), & z > 0, \\ \frac{\varepsilon'_{\text{eff}} q''_n + \varepsilon''_{\text{eff}} q'_n}{|\varepsilon_{\text{eff}}|^2} \exp(2q'_n z), & z < 0. \end{cases} \end{aligned}$$

На рис.6 представлены распределения по координате z продольной и поперечной компонент потока энергии ПП, полученные для случая сферических нановключений ($\xi = 1$) на различных частотах ω . Отметим, что на частоте $\omega = 4.44 \times 10^{15} \text{ c}^{-1}$ (кривая 2) в узкой приповерхностной области нанокомпозита поток $\langle S_x \rangle$ отрицателен (см. вставку на рис.6). При этом величина продольного потока в диэлектрике намного больше, чем в нанокомпозите. Это означает, что полный продольный поток энергии в структуре всегда положителен. Поперечная компонента потока $\langle S_z \rangle$ в обеих средах отрицательна, т.е. энергия из диэлектрика, где возникает ее избыток, переносится в

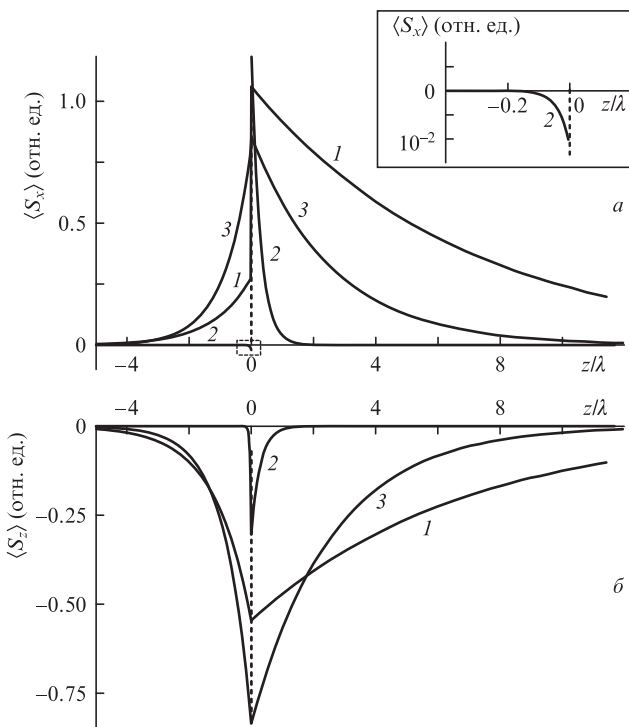


Рис.6. Зависимости продольной (а) и поперечной (б) составляющих потока энергии ПП от нормированной координаты z/λ для $\omega = 3 \times 10^{15}$ (1), 4.44×10^{15} (2) и $4.7 \times 10^{15} \text{ c}^{-1}$ (3) при $\xi = 1$.

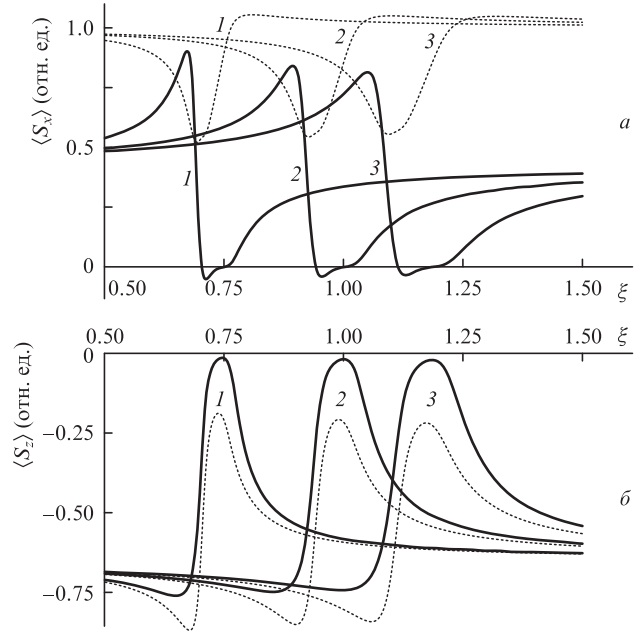


Рис.7. Зависимости продольной (а) и поперечной (б) компонент плотности потока энергии ПП в НКС (сплошные кривые) и в диэлектрике (пунктирные кривые) от параметра формы наночастиц для $\omega = 4.2 \times 10^{15}$ (1), 4.4×10^{15} (2) и $4.5 \times 10^{15} \text{ c}^{-1}$ (3).

НКС, где имеет место ее недостаток. Далее в НКС происходит частичный переход энергии в тепло. Такая ситуация аналогична поведению потока энергии поверхностной ТМ волны в полубесконечной системе металл – диэлектрик [25], а также в направляющем волноводе, содержащем металлическую подложку с отрицательной эффективной диэлектрической проницаемостью [26].

На рис.7 приведены зависимости продольной и поперечной компонент потока энергии ПП в НКС и диэлектрике от формы нановключений (т.е. параметра ξ), полученные для различных значений частоты ω . Видно, что продольная компонента $\langle S_x \rangle$ в диэлектрике всегда положительна, тогда как в НКС она может принимать как положительные, так и отрицательные значения. При этом область, где $\langle S_x \rangle$ отрицательно, с увеличением частоты смещается в сторону больших значений ξ . Компонента $\langle S_z \rangle$ в обеих средах отрицательна. Для каждой из частот имеется область параметра ξ , где поведение компонент потока имеет резонансный характер. С ростом частоты указанная область смещается в область больших значений ξ . Из-за сильного поглощения в НКС в области отрицательных значений продольной компоненты поперечная компонента потока достигает минимума. Существенно, что в области резонанса обе компоненты потока в каждой из сред оказываются чувствительными к сравнительно небольшим изменениям параметра ξ .

6. Заключение

Проведенный анализ особенностей распространения ПП в анизотропной структуре диэлектрик–нанокомпозит с металлическими включениями относится к случаю, когда диэлектрическая проницаемость одной из сред является комплексной и в структуре имеется поглощение. Учет поглощения приводит к модификации известных условий существования ПП и соответствующих дисперсионных зависимостей. В отличие от структуры с веще-

ственными материальными параметрами, для которой в частотном спектре имеется щель между областями существования поверхностных и объемных волн, в рассматриваемом случае указанная щель отсутствует, разделение на волны поверхностные и объемные является условным и может быть проведено лишь по глубине их проникновения. В работе исследован случай, когда оси всех эллипсоидов параллельны границе раздела сред и перпендикулярны направлению распространения ПП. При этом в дисперсионное соотношение и выражения для волновых полей входит только величина $\epsilon_{\text{eff}}^{\perp}$, что делает структуру однорезонансной и существенно упрощает анализ. Между тем интерес представляют также две другие основные ориентации осей эллипсоидов – перпендикулярно границе раздела и вдоль направления распространения. В этих случаях поведение ПП будет определяться двумя компонентами тензора эффективной диэлектрической проницаемости НКС – $\epsilon_{\text{eff}}^{\perp}$ и $\epsilon_{\text{eff}}^{\parallel}$, поэтому в структуре проявятся два резонанса, что должно привести к большему разнообразию свойств ПП.

Отметим также, что в анизотропной структуре ПП могут быть двух типов. Рассмотренные в настоящей работе ПП относятся к дисперсионному типу. Этот тип поверхностных волн реализуется на границе раздела сред с разными знаками проницаемостей, обладающих, как правило, частотной дисперсией [11, 12]. Ко второму типу относятся поверхностные волны, возникающие вследствие оптической анизотропии одной из пограничных сред при положительных значениях их проницаемостей и относительно малой частотной дисперсии [17, 18]. Этот тип поверхностных волн в анизотропных наноконструкциях до сих пор не исследовался, хотя наноконструкты являются хорошо управляемой средой для наблюдения таких волн. Важность исследования ПП в подобных структурах заключается в возможности использования последних для создания высокоэффективных устройств управления излучением оптического и ИК диапазонов (например, модуляторов и фильтров).

Работа выполнена при частичной финансовой поддержке Министерства образования и науки РФ (конт-

ракт №3.175.214К) и РФФИ (грант №13-02-97026 р_волжье_a).

1. Engheta N., Ziolkowski R.W. *Metamaterials: Physics and Engineering Explorations* (Wiley–IEEE Press, 2006).
2. Головань Л.А., Тимошенко В.Ю., Кашкаров П.К. *УФН*, **177**, 619 (2007).
3. Cai W., Shalaeв V. *Optical Metamaterials: Fundamentals and Applications* (New York: Springer, 2010).
4. Shalaeв V.M. *Nat. Photonics*, **1**, 41 (2007).
5. Moroz A. *J. Opt. Soc. Am. B*, **26**, 517 (2009).
6. Раснянский А.И., Palpant B., Debrus S. и др. *ФТТ*, **51**, 52 (2009).
7. Климов В.В. *Наноплазмоника* (М.: Физматлит, 2010).
8. Сухов С.В. *Квантовая электроника*, **35**, 741 (2005).
9. Ветров С.Я., Авдеева А.Ю., Тимофеев И.В. *ЖЭТФ*, **140**, 871 (2011).
10. Моисеев С.Г., Остаточников В.А., Семенов Д.И. *Квантовая электроника*, **42**, 557 (2012).
11. *Поверхностные поляритоны*. Под ред. В.М.Аграновича, Д.Л.Миллса (М.: Наука, 1985).
12. Дмитрук Н.Л., Литовченко В.Г., Стрижевский В.Л. *Поверхностные поляритоны в полупроводниках и диэлектриках* (Киев: Наукова думка, 1989).
13. Новотный Л., Хехт Б. *Основы нанооптики* (М.: Физматлит, 2009).
14. Зуев В.С., Леонтович А.М., Лидский В.В. *Письма в ЖЭТФ*, **91**, 126 (2010).
15. Башарин А.А., Меньших Н.Л. *Письма в ЖЭТФ*, **93**, 770 (2011).
16. Knoesen A., Moharam M.G., Gaylord T.K. *Appl. Phys. B*, **38**, 171 (1985).
17. Дьяконов М.И. *ЖЭТФ*, **94**, 119 (1988).
18. Альшиц В.И., Любимов В.Н. *ФТТ*, **44**, 371; 1895 (2002).
19. Abdulhalim I. *J. Opt. A: Pure Appl. Opt.*, **11**, 015002 (2009).
20. Averkov Y.O., Yakovenko V.M. *J. Opt. Soc. Am. B*, **28**, 155 (2011).
21. Baranov D.G., Vinogradov A.P., Simovski C.R. *Metamaterials*, **6**, 70 (2012).
22. Санников Д.Г., Семенов Д.И. *ФТТ*, **55**, 2209 (2013).
23. Баранов Д.Г., Виноградов А.П., Симовский К.Р., Нефедов И., Третьяков С.А. *ЖЭТФ*, **141**, 650 (2014).
24. Moiseev S.G. *Appl. Phys. A*, **103**, 619; 775 (2011).
25. Адамс М. *Введение в теорию оптических волноводов* (М.: Мир, 1984).
26. Санников Д.Г., Семенов Д.И. *Радиотехника и электроника*, **49**, 1192 (2004).